

論 文

大韓熔接學會誌
第1卷 第1號 1983年8月
Journal of the Korean
Welding Society
Vol. 1, No. 1, Aug., 1983

大入熱 高張力鋼 熔接部의 機械的 特性 變化에 關한 研究

金 永 植*·裴 且 奉**

A Study on the Mechanical Properties in High Heat Input Welds of High Strength Steels

by

Young Sik Kim*, Cha Hurn Bae**

Abstract

The mechanical and microstructural properties in high heat input welds of home-made SM 50 high strength steels were investigated and compared with the manual shielded metal arc welds.

Also, the fracture toughnesses of the simulated weld-bonds with various thermal cycles were quantitatively examined in order to provide the basic data for further development of the high strength steels for high heat input welding.

Main results obtained are as follows.

- (1) The embrittlement degree and the coarse grained region in high heat input welds appear to be extraordinarily large compared with the manual shielded metal arc welds, while the difference in change of microhardness is not so large in both welds.
- (2) The embrittleness in high heat input weld-bonds is mainly affected by the size of coarse grain rather than the microstructure.
- (3) The fracture toughness in high heat input weld-bonds can be improved by controlling the cooling rate from 800°C to 500°C rapidly.

1. 序 言

高張力鋼은 構造物의 重量輕減, 材料의 節約 및 構造物의 使用性能을 向上시킬 수 있는 等, 여러 가지 利點이 있으므로 날로 그 使用範圍가 擴大되어 가고, 보다 높은 強度의 高張力鋼材가 出現하고 있다. 그러나 高張力鋼材는 그 強度를 높이기 위해 여러 가지 合金元素를 添加하거나 調質 热處理를 通하여 製作되고 있기 때문에 熔接 構造用 材料로 使用時 熔接上에 여러 가지 問題點이 따른다. 即 高張力鋼材의 熔接時

는 보통 軟鋼材의 경우에 比하여 熔接部에 顯著한 機械的 特性 變化를 가져와 脆化, 熔接龜裂, 라엘라테어 (lamellar tear)와 같은 問題點을 일으킨다.¹⁾

이것은 熔接時에 急熱 急冷의 热外이를 받아 母材 속에 포함된 上述한 여러 가지 合金元素로 因해 熔接部에 複雜한 析出物, 變態組織, 結晶粒度 等의 變化를 가져오기 때문이다. 이러한 問題點들은 熔接能率를 向上시키기 위해 最近 들어 널리 使用되고 있는 서브머지드 아아크 熔接이나 엘렉트로 가스 또는 엘렉트로 슬래그 熔接等, 大入熱 熔接時는 더욱 큰 問題點으로 되어 大型 熔接 構造物의 경우 信賴性과 安全性 確保

* 韓國海洋大學, 正會員

** 釜山工業專門大學, 正會員

가 특히重要한課題로 되어 있다.²⁾³⁾⁴⁾

한편國內에서도現在各種高張力鋼材 및高張力鋼用熔接材料가生產되고 있거니와, 이러한材料들에對한大入熱熔接法適用時 그問題點을究明함과아울러 이것을土壤으로大入熱熔接에適合한高張力鋼材의開發을推進할必要가 있다.

本研究에서는以上과 같은點에着眼하여市販되고 있는國產 $50kg/mm^2$ 級高張力鋼材를對象으로大入熱熔接인 엘렉트로 가스熔接을實施하여熔接부의機械的特性變化를通常의被覆아아크熔接時의 경우와定量的으로比較, 考察하였다. 또한熔接熱影響部의再現熱사이클을試驗을通하여大入熱熔接時熔接본드부의非性低下를일으키는支配的要因을밝혀, 大入熱熔接時非性向上을爲한熔接條件를提示함과同時に, 大入熱熔接用國產高張力鋼材의開發을위한基礎資料가되도록하였다.

2. 實驗方法

本研究에使用한母材는두께 $15mm$ 의國產SM50A高張力鋼材로그化學成分과機械的性質을Table 1에나타내었다. 手動被覆아아크熔接(Shielded Metal

Arc Welding: SMAW)試驗片 및 엘렉트로 가스熔接(Electro Gas Welding: EGW)試驗片製作時使用된熔接棒의成分과機械的性質을Table 2에나타내었다. 被覆아아크熔接棒은國產高張力鋼用低水素系로 $300^\circ C$ 에서1時間乾燥後使用하였으며엘렉트로 가스熔接時는탄산가스熔接用와이어를利用하여탄산가스保護霧團氣에서行하였다.

被覆아아크熔接時와엘렉트로 가스熔接時之形狀과熔接條件를Fig. 1과Table 3에각각나타내었다. 被覆아아크熔接은多層(5 passes)으로實施하였으며試驗片製作時熱사이클의測定은熔接본드부의熱사이클을測定할수있도록Fig. 1에圖示한바와같이母材의부部位thermo-couple를挿入하여, 이것을X-Y記錄計에連結하여測定하였다. 이와같은熔接試驗片製作時는熔接後의冷却速度가試驗片크기에依하여影響을받지않도록充分히큰材料($800^L \times 150^W \times 15^T$)2枚를利用하였다.⁵⁾ 이와같이製作한 두種類의熔接된板으로부터試驗片을採取하여熔接부의連續的인組織變化를究明하고Charpy衝擊試驗에依한熔接본드부의破壞非性을測定하여, 手動被覆아아크熔接時와大入熱熔接인엘렉트로 가스熔接時의特性을比較考察하였다.

Table 1. Chemical compositions & mechanical properties of base metal

Base metal SM50A (15mm) (15mm)	Chemical compositions (wt%)						Mechanical properties				Ceq.
	C	Si	Mn	P	S	sol. Al	Y.P. (kg/mm ²)	T.S. (kg/mm ²)	EI (%)	V-Charpy (kg-m)	
	0.16	0.45	1.49	0.015	0.009	0.046	38	54.5	26	6.2 (-20°C)	
Ceq. = C + Mn/6 + Si/24 + Cr/5 + Ni/40 + Mo/4 + V/14 (%)											

$$\text{Ceq.} = \frac{\text{C} + \text{Mn}}{6} + \frac{\text{Si}}{24} + \frac{\text{Cr}}{5} + \frac{\text{Ni}}{40} + \frac{\text{Mo}}{4} + \frac{\text{V}}{14} (\%)$$

Table 2. Chemical compositions & mechanical properties of weld metal

	Chemical compositions (wt%)						Mechanical properties				V-Charpy (kg-m)
	C	Si	Mn	P	S	Mo	Y.P. (kg/mm ²)	T.S. (kg/mm ²)	EI (%)		
SMAW (Low hydrogen)	0.07	0.53	0.98	0.014	0.010	—	49	57	32	19	(-20°C)
EGW (CO ₂ Gas)	0.07	0.38	1.76	0.012	0.012	0.13	44	60	27	7.6	(-10°C)

SMAW : Shielded Metal Arc Welding (low hydrogen. KSE 5016)

EGW : Electro-Gas Welding (CO₂ gas. KAW 3G. 52G)

Table 3. Welding condition.

	Speed (cm/min)	Ampere (A)	Voltage (V)	Heat input (Joule/cm)	Remarks
SMAW	15~16	170~180	25~30	21600	Drying condition of electrode : 1hr at 300°C, 4mmφ
EGW	10	570	30	102600	Shielding gas CO ₂ , 30l/min. wire 3.2mmφ

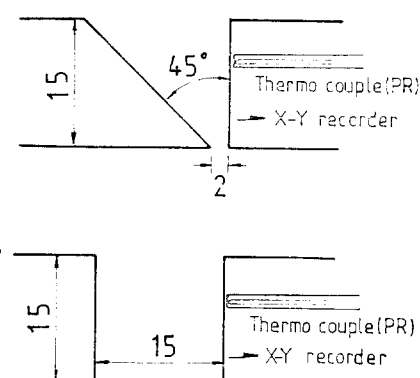


Fig. 1. Shape of groove

또한 大入熱 焊接時의 硬度 및 結晶組織의 焊接部의 破壞韌性에 미치는 影響을 定量的으로 檢討 分析하였다. 여기서 Charpy 試驗片은 板 두께 中央部에서 採取하였으며 測定하고자 하는 部位에 V形 notch를 加工하여 破壞 韌性 實驗을 行하였다.

試驗材인 SM50A 高張力 鋼材의 大入熱 焊接法 適用時 適正의 焊接條件를 把握하기 위해 熱싸이클에 따른 機械的 特性變化를 焊接 熱影響部 再現 熱싸이클 試驗을 通해 調查하였다.

再現 熱싸이클 試驗裝置는 高周波를 利用하여 急速히 加熱하는 裝置이다. 이 裝置를 利用하여 800~500°C 間의 冷却速度를 4種類로 變化시켜 각각의 組織, 硬度, 破壞 韌性를 調査하였다. 그 결과 最上의 機械的 特性值를 얻을 수 있는 冷却速度를 究明할 수 있었다.

3. 實驗結果 및 考察

3.1 大入熱 焊接時의 热싸이클 및 組織變化

大入熱 焊接時 焊接 본드部의 热外이를 特性을 手動被覆 아아크 焊接과 比較하여 Fig. 2에 나타내었다.

여기서 手動被覆 아아크 焊接은 thermo-couple의 位置上 3層(3 pass)에서 最高溫度인 1300°C에 到達하여 組織變化에 가장 큰 影響을 미치는 800~500°C 間의 冷却速度가 33秒로 比較的 急冷됨을 보이고 있다. 또한 이 경우의 焊接部位에 있어서는 前層 바이드 및 後續層 바이드에 依해 充分한 豫熱 및 後熱 效果를 얻고 있음을 알 수 있다. 이에 比해 大入熱 焊接인 엘렉트로 가스 焊接時는 約 5秒間에 1350°C의 高溫에 到達하여前述한 800~500°C間의 冷却 speed가 147秒로 매우 느린 樣相을 보이고 있다.

Photo. 1, Photo. 2는 上述와 같은 热싸이클을 받아 나타난 焊接 본드部 近傍의 組織變化를 手動被覆 아아크 焊接과 엘렉트로 가스 焊接을 比較하여 나타낸 것이다.

엘렉트로 가스 焊接의 경우는 手動 아아크 焊接의 경우에 比해 본드部 近傍의 結晶粒粗大化 現狀이 매우 顯著하며, 그 領域 또한 대단히 넓게 되어 본드部 近傍의 脆化度 및 脆化領域이 크게 되어 있음을 알 수 있다. 또한 手動 焊接의 경우는 본드部 및 그 近傍의 組織의 母材에 比해 方向性이 없는 ferrite·pearlite 組織으로 나타나 있는데 對해서, 엘렉트로 가스 焊接時는 粗大한 中間 組織인 bainite 結晶粒周圍에 網狀의 ferrite 組織이 發達되어 있음을 보이고 있다.

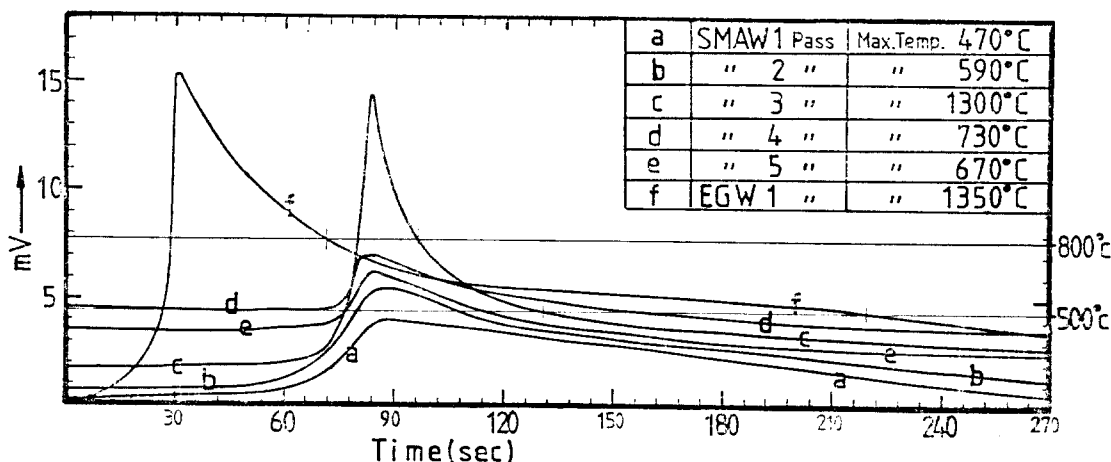


Fig. 2. Thermal history curve of SMAW and EGW

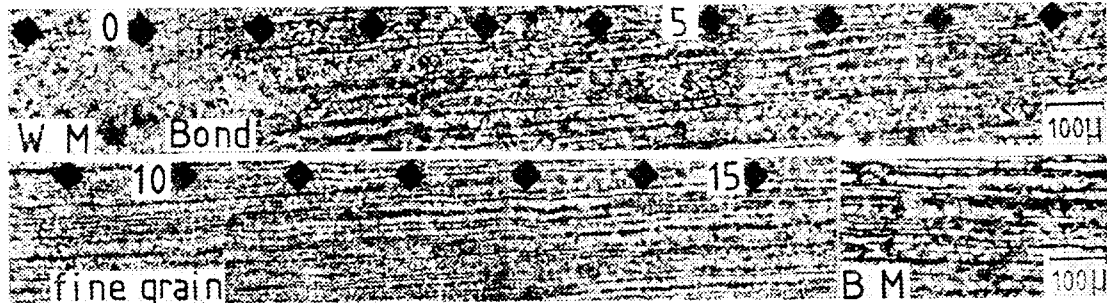


Photo. 1. Change of continuous microstructure in SMAW

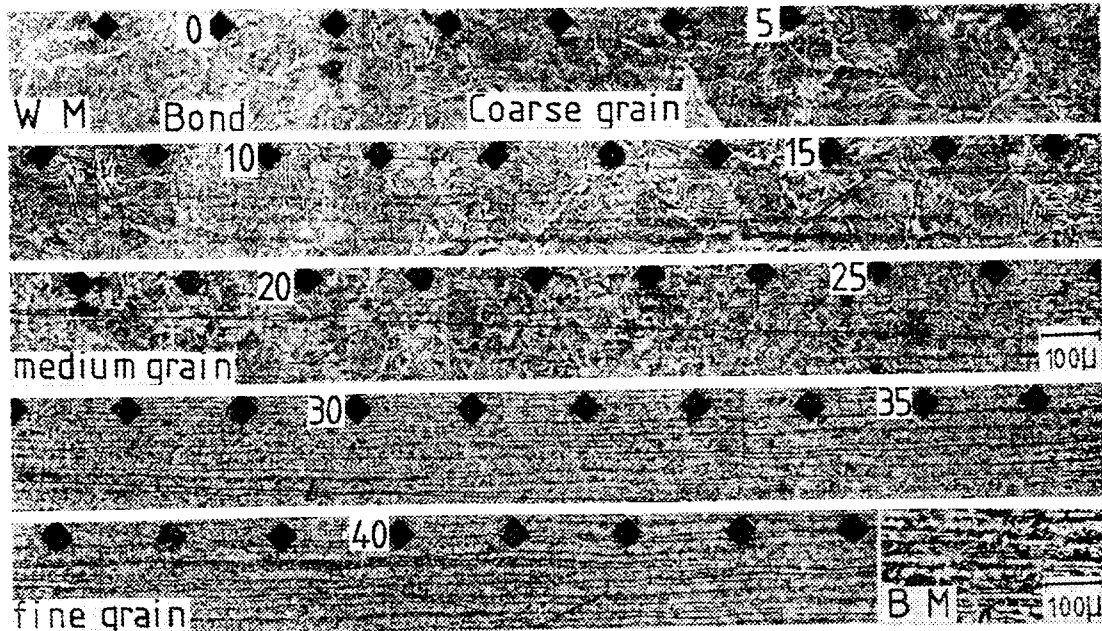


Photo. 2. Change of continuous microstructure in EGW

以上과 같은事實은 手動 熔接이 800~500°C間의 冷却速度가 急冷이고 또한 多層 熔接으로 因한 調質效果를 받게되나 엘렉트로 가스 熔接은 單層(single pass)으로 熔接이 完了되며 800~500°C間의 冷却速度가 매우 緩慢하기 때문이다. 또한 各 熔接法 모두 熱影響部의 最外側에서는 母材보다 細粒의 結晶領域이 觀察된다. 이것은 熔接時 1100~900°C 程度로 加熱되어 이루어진 領域으로 粗粒域에 比해相當한 韌性回復이豫想된다.^{6,8)}

이 領域은 본드部로부터 手動 熔接은 約 2.0mm, 엘렉트로 가스 熔接은 約 7.4mm 떨어진 거리에 存在한다.

3.2 熔接 본드部의 機械的 特性變化

Fig. 3은 手動 熔接과 엘렉트로 가스 熔接의 경우에

熔接部의 硬度 變化를 나타낸 것이다.

엘렉트로 가스 熔接時 본드部에 있어서 最大 硬度는 $H_V(300g)$ 220이고, 手動 熔接에서는 $H_V(300g)$ 200으로 서로 比較하면 큰 差異는 보이지 않는다. 따라서 두 熔接에 있어서의 硬度 變化는 비슷한 樣相을 보이고 있다. 또한 熔接 본드部에 있어서, 以上과 같은 最大 硬度值는 JIS 規格 $H_V(10kg)$ 350보다는 매우 낮으므로 國產 SM50A 高張力 鋼材의 大入熱 熔接時 硬度 變化에 對해서는 良好한 結果를 나타낼 수 있다.

엘렉트로 가스 熔接時와 手動 熔接時의 熔接 各部即, 熔接 金屬(Welded Metal: WM), 热影響部(Heat-Affected Zone: HAZ) 및 母材(Base Metal: BM)에 있어서 Charpy 衝擊吸收 에너지(-20°C)를 Fig. 4에 圖示하였다. Fig. 4에 依하면 熔接 본드部에서吸收 에너지가 가장 낮으며, 특히 엘렉트로 가스 熔接에서

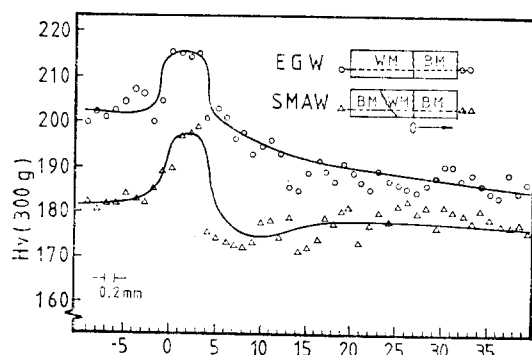


Fig. 3. Change of micro-vickers hardness in welding zone

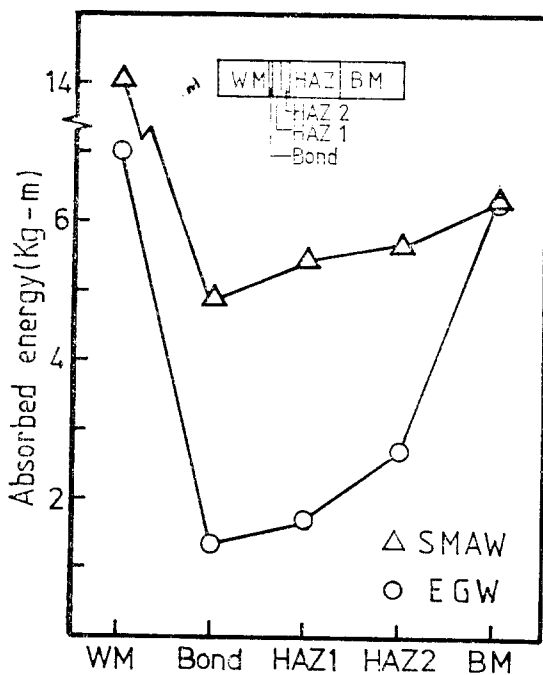


Fig. 4. Absorbed energy of each zone(-20°C)

는 그 傾向이 더욱 뚜렷이 나타남을 알 수 있다. 이것을 定量的으로 比較하면 母材에 있어서의 吸收 에너지를 基準으로 하였을 때 手動 아아크 熔接의 본드부는 約 77%, 엘렉트로 가스 熔接의 본드부는 約 21%에 該當하는 吸收 에너지를 갖고 있음을 보인다. 이와 같이 熔接部中 鞣性이 가장 낮은 본드부에 있어서 渦度에 따른 吸收 에너지를 求한 結果를 Fig. 5에 나타내었다.

i) 結果에 依하면 엘렉트로 가스 熔接의 본드부는

母材 및 手動 아아크 熔接의 본드부보다 各 渦度 区間에서 吸收 에너지가 顯著히 낮게 나타나 있다. 또한 延性-脆性 遷移現象 역시 母材가 -40°C~ -60°C, 手動 아아크 熔接의 본드부는 -20°C~ -60°C인 것에 比해 엘렉트로 가스 熔接의 본드부는 高溫側인 20°C~ -40°C範圍로 移動되고 있음을 보인다. 그리고 Fig. 5는 母材, 熔接 본드부, 모두 熔接 方法에 關係 없이 -60°C 以下에서는 吸收 에너지가 1kg·m 程度로 極히 낮아짐을 알 수 있다.

Photo. 3은 母材, 手動 아아크 熔接 본드부 및 엘렉트로 가스 熔接 본드부의 -20°C에 있어서 微視的인 破面 樣相을 보인 것이다. 母材는 딥풀(dimple)의 땀이 나타나 있어 典型的인 延性 破壞를 나타내고 있으며 手動 熔接 본드부에 있어서도 딥풀型 破壞 樣相을 보이고 있다. 이에 比해 엘렉트로 가스 熔接의 본드부 破面은 매우 큰 破面單位(facet)의 壁開面이 나타나 있어 脆性 破壞의 樣相을 보이고 있다.

以上과 같이 大入熱 熔接인 엘렉트로 가스 熔接時, 본드부의 顯著한 鞣性 低下의 原因을 究明하기 爲하여 prior austenite 結晶 粒度를 linear intercept法에 依

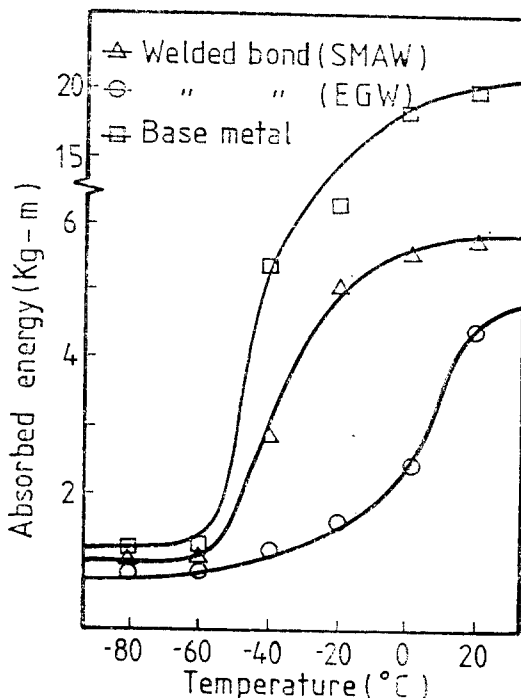


Fig. 5. Absorbed energy with change of temperature

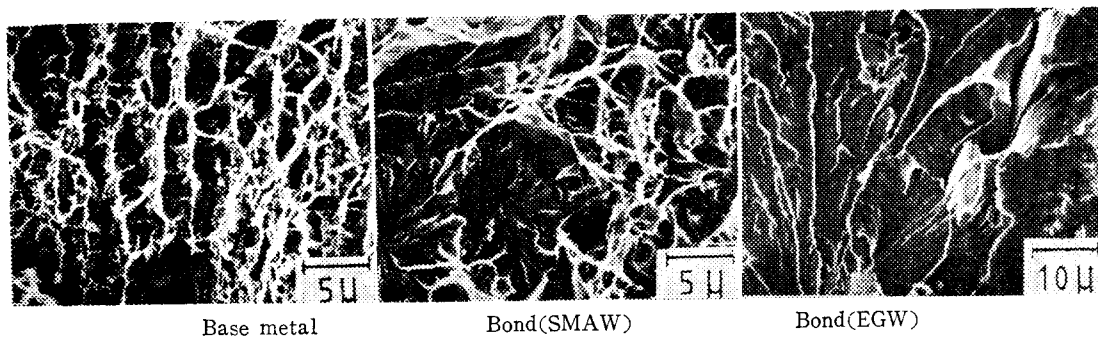
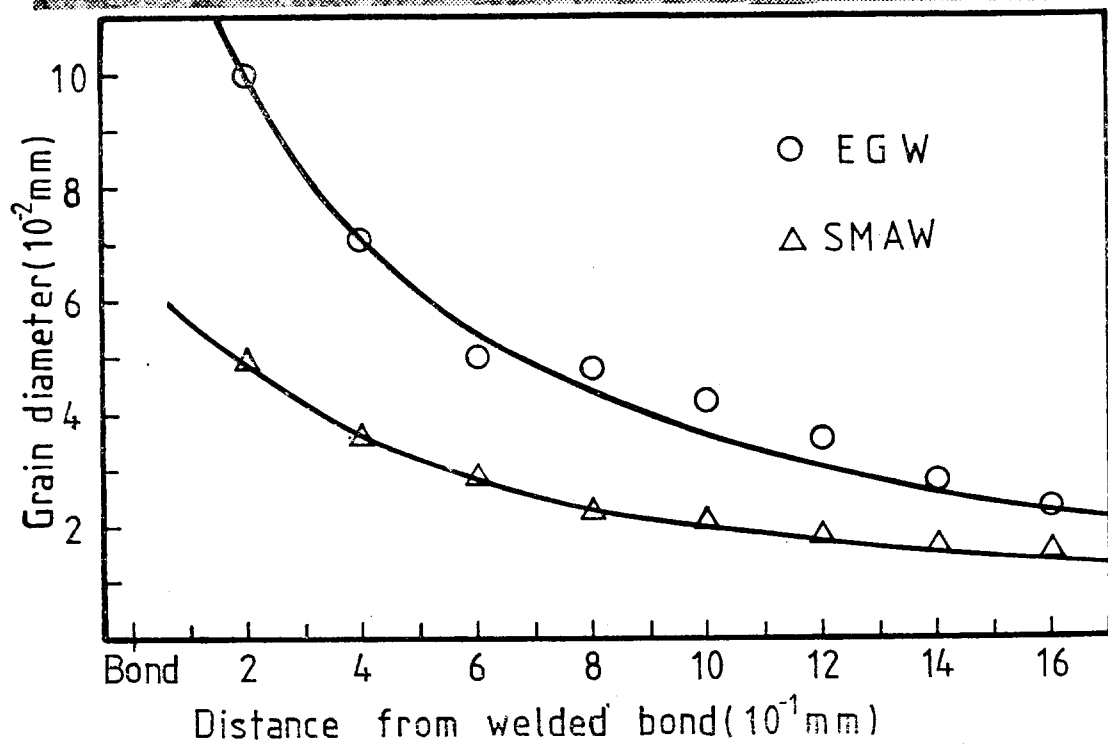
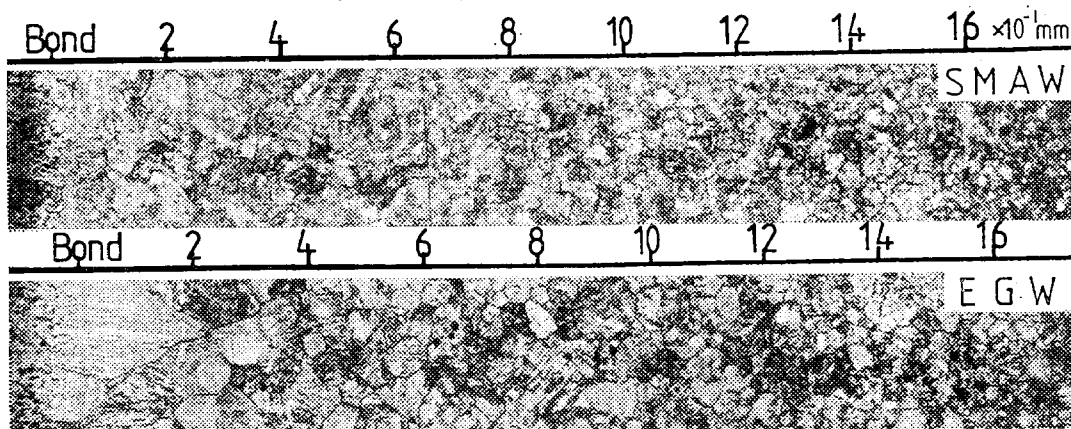
Photo. 3. Fractographs of welded bond (-20°C)

Fig. 6. Relation between grain diameter and distance from welded bond

해 直徑 變化를 調査하여 나타내면 Fig. 6과 같다.^{8,9)}

이 結果에 依하면, 熔接 본드部 近傍에 있어서 엘렉트로 가스 熔接時의 prior austenite 結晶粒度는 手動 熔接의 경우에 比해 2倍 程度 크게 되어 있음을 알 수 있다. 따라서 大入熱 熔接時 매우 緩慢한 冷却 速度로 因해 prior austenite 粗大化를 가져오고 그 結果 粗大한 bainite 組織의 生成으로 顯著한 韌性低下를 가져오는 것으로 考察된다.

3.3 热싸이클의 變化에 따른 본드部의 機械的 特性變化

大入熱 熔接時 热싸이클의 變化에 따른 본드部의 韌性 變化를 究明하기 为하여 高周波 急速 加熱裝置를 利用하여 熔接 본드部 再現 热싸이클 試驗을 行하였다. 試驗片은 $11 \times 11 \times 55\text{mm}$ 의 크기로 加工하여 热싸이클 賦與後 所定의 Charpy 試驗片 크기로 完成 加工하여 實驗을 行하였다. 热싸이클은 熔接 본드部의 最高到達溫度인 1350°C 까지 30秒間に 到達되도록 加熱하였으며 이 溫度에서 5秒間 維持後 各種 分圍氣氛에 試驗片을 維持시켜 冷却時間을 調整하였다.

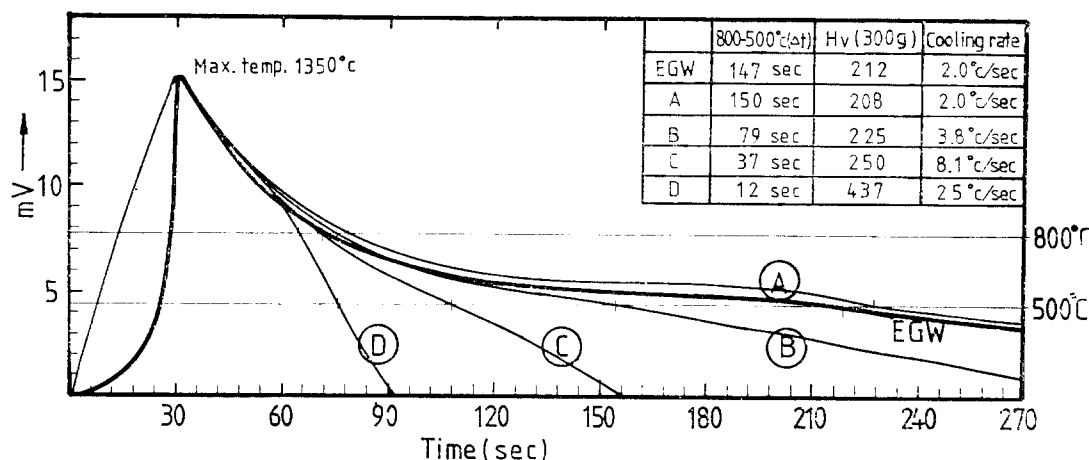


Fig. 7. Thermal history curves in simulation test

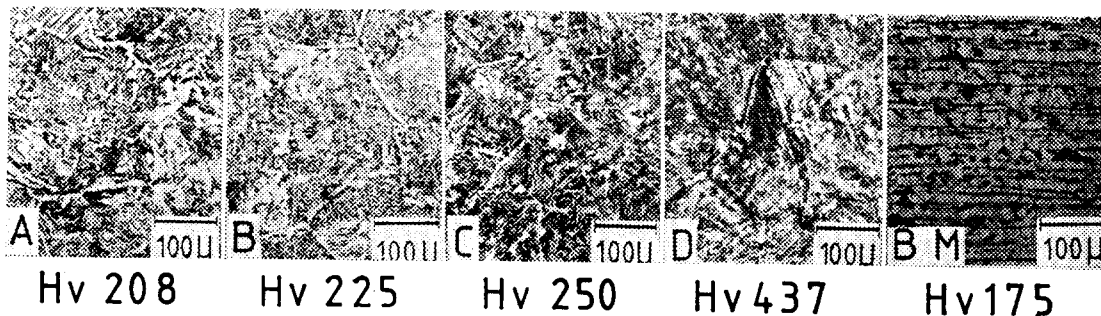


Photo. 4. Microstructure with change of cooling rate

이와 같이 하여 Fig. 7의 ④, ⑤, ⑥, ⑦ 曲線으로 表示한 바와 같이 $800\sim500^{\circ}\text{C}$ 間의 冷却時間은 150秒, 79秒, 37秒, 12秒의 4種類로 變化하였다. 여기서 ④ 싸이클은 熔接熱量 102.6KJ/cm^2 本研究의 엘렉트로 가스 熔接의 热싸이클에 該當된다. 또한 79秒는 約 80KJ/cm^2 , 37秒는 約 55KJ/cm^2 , 12秒는 30KJ/cm^2 의 熔接熱量에 각각 該當된다.¹⁰⁾

以上과 같은 热싸이클을 再現 試驗에 있어서 顯微鏡 組織과 그 micro-vickers 值을 photo. 4에 나타내었다.

實際의 엘렉트로 가스 熔接과 同等한 ④ 热싸이클의 結果는 매우 粗粒의 bainite ferrite 組織이 發達되어 組織 및 硬度值는 엘렉트로 가스 熔接의 結果와 本質的으로 同等하다. Fig. 8은 本試驗材와 同等한 成分의 SM50 鋼材의 SH-CCT 曲線을 보인 것이다.¹¹⁾

이러한 SH-CCT 曲線과 Photo. 4의 組織寫眞으로부터 $800\sim500^{\circ}\text{C}$ 間의 冷却時間이 짧아짐에 따라 매우 粗大한 結晶粒 狀態로부터 微細한 結晶粒 狀態로 變化하고 있음을 알 수 있다. 또한 基地組織은 bainite, ferrite 組織으로부터 martensite, bainite, ferrite 組織으로 바뀌며, $800\sim500^{\circ}\text{C}$ 間의 冷却時間이 12秒인 경

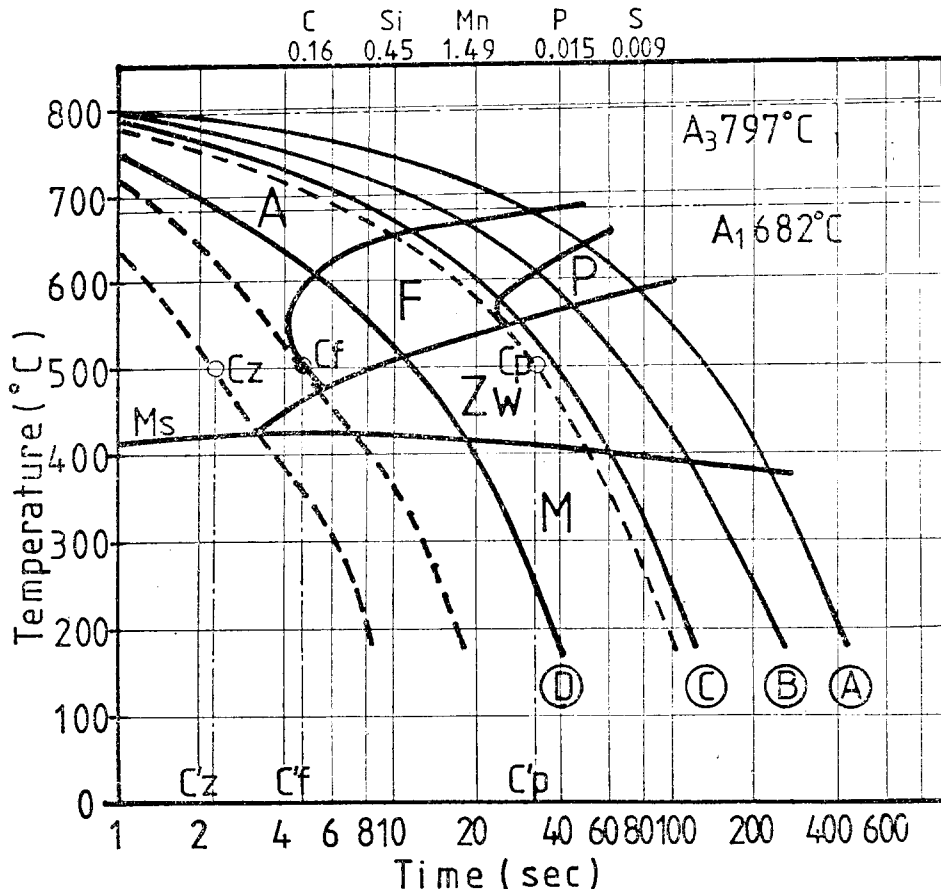


Fig. 8. SH-CCT curve of SM 50 steel

우는 martensite의 容積比가 60% 以上으로 增加하고 있음을 알 수 있다. micro vickers의 硬度值는 組織의 變化와 함께 冷却時間의 減少에 따라 急增하고 있음을 보인다.

Fig. 9는 热싸이클의 變化에 따른 ④, ⑤, ⑥, ⑦ 試驗片의 -20°C에 있어서 Charpy衝擊吸收 에너지의 變化를 나타낸 것이다.

이 結果는 800~500°C間의 冷却時間이 짧아짐에 따라 韌性이增加하고 있음을 보이고 있다. 이것을 定量的으로 考察하면, 本 實驗의 엘렉트로 가스 熔接인 경 우를 再現한 試驗片 ④의 衝擊吸收 에너지를 基準으로 했을 때 試驗片 ⑤는吸收 에너지가 約 35% 向上하였고, 試驗片 ⑥는 約 60%, 試驗片 ⑦는 2倍가 넘는 約 110%程度 向上하였음을 보이고 있다.

以上의 考察에서 韌性的 增加는 800~500°C間의 冷却時間의 短縮에 따른 結晶組織의 微細化가 支配的으로 作用하고, martensite 基地 組織에 少量의 ferrite 組織이 나타나기 때문인 것으로 推定된다.

4. 結論

國產 SM50A 高張力 鋼材를 對象으로 大入熱 熔接인 엘렉트로 가스 熔接과 手動 아아크 熔接을 각各 實施하여 熔接 본드부의 機械的 特性變化를 比較 考察하고, 再現 热싸이클 試驗을 通하여 热싸이클의 變化에 따른 본드부의 韌性變化를 定量的으로 究明한 結果, 다음과 같은 結論을 얻었다.

- 1) 엘렉트로 가스 熔接(入熱 1026KJ/cm) 後 본드부의 冷却時間은 800~500°C에서 147秒로써 cooling rate는 2.0°C/sec로 緩慢한데 比해 手動 아아크熔接(入熱 21.6KJ/cm)은 800~500°C 사이에서 冷却時間은 33秒, cooling rate 9.1°C/sec로서 急冷이다.

- 2) 大入熱 熔接時 热影響部의 結晶 粗大化 領域은 手動 아아크 熔接의 경우에 比해 約 3倍程度 넓게 나타난다.

- 3) SM 50A 鋼材의 大入熱 熔接時 본드부의 硬度變化

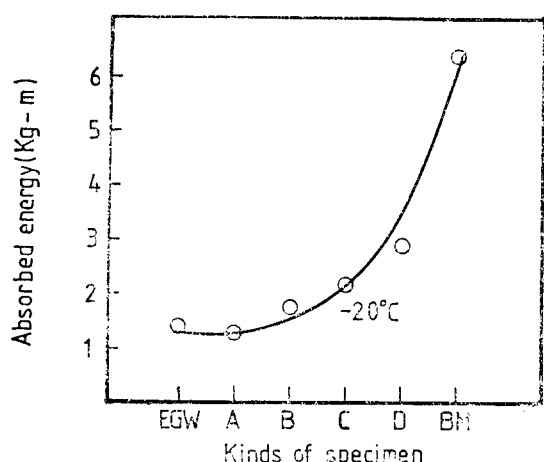


Fig. 9 Absorbed energy with change of cooling rate

는 最高 $H_v(300g)$ 220을 넘지 않으므로 JIS 規格 $H_v(10kg)$ 350에 對해서 매우 良好하다.

4) 母材 金屬의 衝擊吸收エネルギー를 基準으로 하였을 때 手動 아아크 熔接의 본드부는 約 77%, 大入熱熔接인 엘렉트로 가스 熔接 본드부는 約 21%에 該當하는 衝擊吸收エネルギー를 갖고 있다.

5) SM50A인 母材의 延性-脆性遷移領域은 -40°C $\sim -60^{\circ}\text{C}$ 가 되며, 手動 아아크 熔接時 본드부는 -20°C $\sim -60^{\circ}\text{C}$, 엘렉트로 가스 熔接時 본드부는 $20^{\circ}\text{C} \sim -40^{\circ}\text{C}$ 로 되어 入熱量이 많을수록 遷移領域은 擴大되고 遷移溫度는 上昇되고 있다.

6) 手動熔接 및 엘렉트로 가스 熔接後 본드부의 硬度值와 prior austenite grain size의 關係를 比較하면 硬度值에 對해서는 큰 차이가 없다. 그러나 prior austenite grain size는 엘렉트로 가스 熔接部의 結晶粒子의 크기가 手動 아아크 熔接部의 경우보다 2倍程度 크다. 따라서 韌性值는 硬度보다 組織의 粒度에支配的인 影響을 받는 것으로 料된다.

7) 大入熱 熔接에서는 熔接後 $800 \sim 500^{\circ}\text{C}$ 에 있어서 본드부의 冷却速度를 빨리함으로써 韌性值를 上시킬 수 있다. 이것은 austenite粒子 成長을 억제하는

效果를 가져오기 때문이다. 그러므로 韌性值의 向上을 為해서는 粒子成長을 억제하는 合金元素를 添加할 必要가 있다.

끝으로 本研究는 1982年度 產學協同財團의 研究費支援으로 이루어진 것으로 同財團에 깊은 謹意를 表하며 試驗片製作에 協助해 주신 포항제철 技術研究所 및 大韓造船公社의 關係諸位께 깊은 感謝를 드린다.

參 考 文 獻

- 1) 金永植, “高張力鋼 熔接時의 問題點”, 大韓機械學會誌, Vol. 22, No. 3, 1982. p. 175~183.
- 2) 日本造船研究協會, “第147研究部會 船體用 高張力鋼板 大入熱 熔接繼手의 脆性破壞強度 評價에 關する 研究報告書”, 研究資料, No. 244, 1976. p. 1~5.
- 3) 菊田, 荒木外 3人, “高張力鋼 溶接 ボンド부의 韌性에 關する 研究(第一報)”, 溶接學會誌, Vol. 43., No. 10, 1974, p. 95.
- 4) JSSC極厚 高張力鋼 熔接研究, “大型溶接 構造物의 溶接割れ에 關する 研究(その3)”, JSSC. 11~116, 1975, p. 17~36.
- 5) 日本溶接協會, “インプラント形溶接割れ試験方法”, WES. 1104~1980, p. 10.
- 6) 鈴木, 田村, “溶接金屬學”, 產報出版, 1978, p. 62~67.
- 7) 佐藤, 山戸, “50~60キロ非調質鋼 溶接 熱影響部の 組織と じん性”, 日本溶接學會誌, Vol. 50, No. 1, 1981, p. 11~19.
- 8) 井川, 新, 大重, “溶接熱影響部の 結晶粒 粗大化に 關する 研究(第1報)”, 溶接學會誌, Vol. 42, No. 2, 1973, p. 46~56.
- 9) American Society for Metals, “Metal Hand Book, Metallography, Structure & Phase Diagram”, Vol. 8, 1973, p. 37~47.
- 10) 溶接學會編, “溶接便覽”, 丸善(株), 1978. p. 918.
- 11) 稲垣, 宇田, 金澤, “各種 高張力鋼의 溶接用 連續冷却變態圖”, 金屬材料 技術研究所 研究報告, Vol. 5, 1962.